

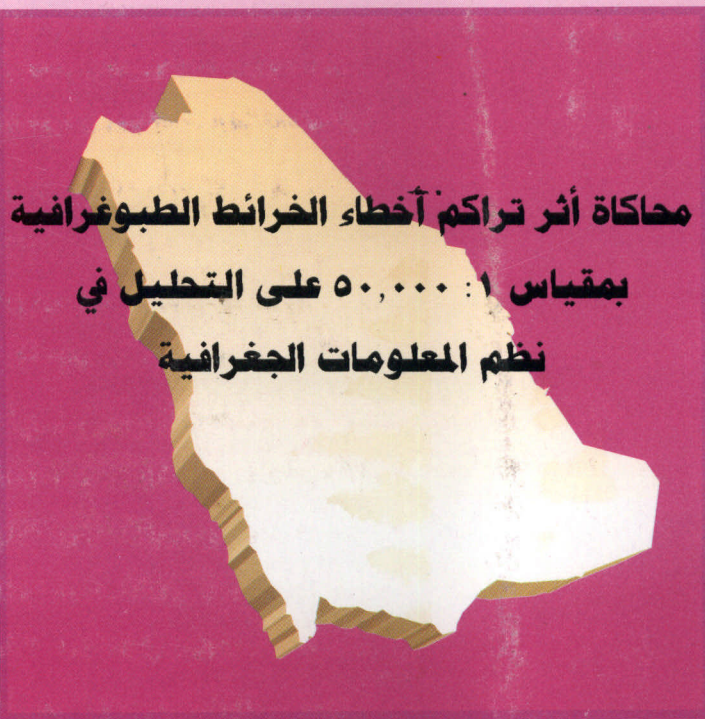


بحوث جغرافية



سلسلة محاكاة غير دورية تصدرها الجمعية الجغرافية السعودية

٥٧



د. علي بن معاضه الغامدي

جامعة الملك سعود - الرياض - المملكة العربية السعودية

٢٠٠٣ هـ - ١٤٢٤

بموجـث جـغرـافـيـة

سلسلة متحفـة غير دوريـة تـصـدرـها الجـمعـيـة الجـغرـافـيـة السـعـوـدـيـة

٥٧

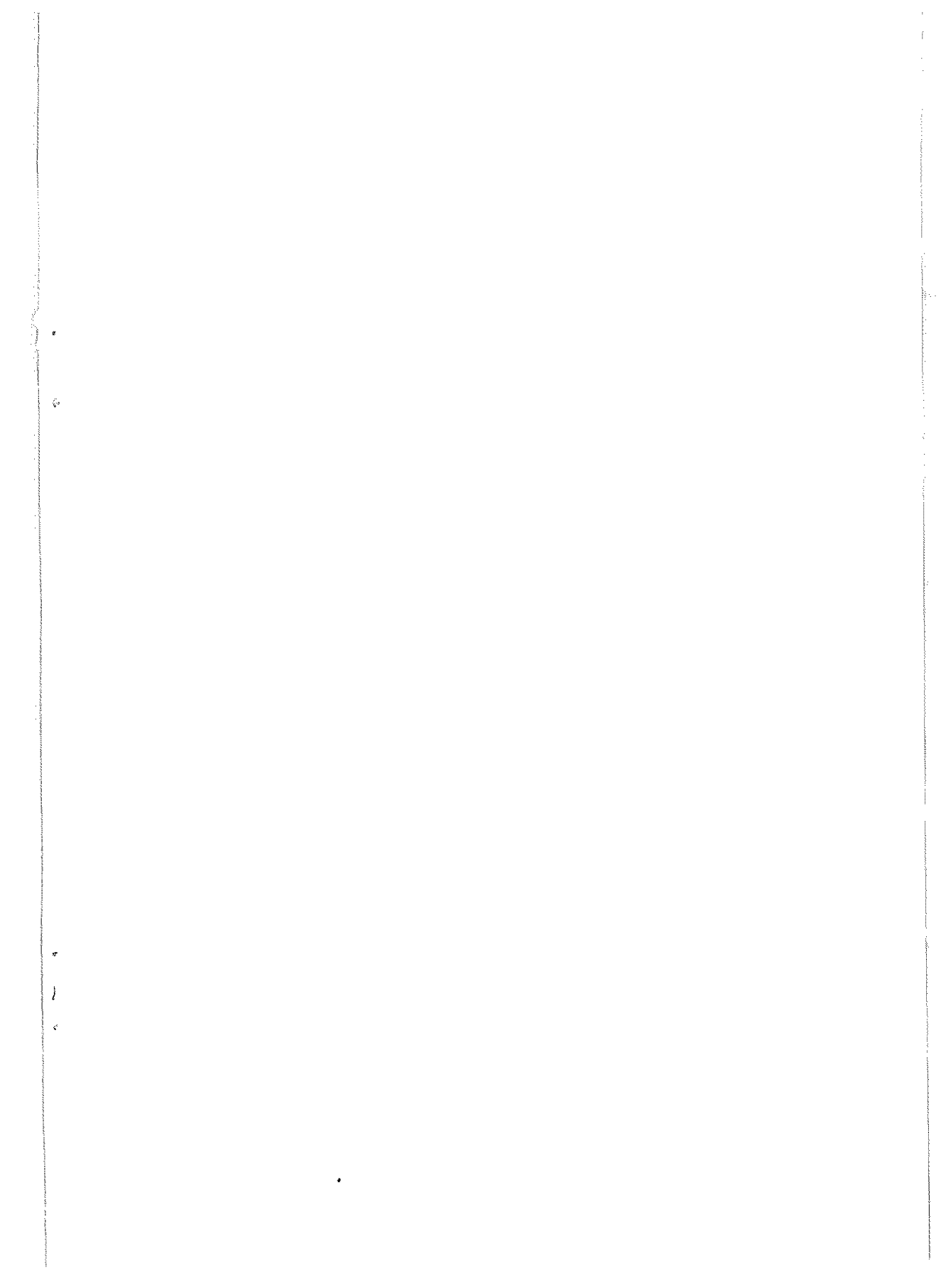
محاكـاة أثر تراكم آخـطـاء الفـرـانـط الطـبـوـفـرـافـيـة
بـمـقـيـاس ١ : ٥٠,٠٠٠ عـلـى التـطـيلـ فـي
نـظـمـ المـعـلـومـاتـ الجـغرـافـيـة

د. علي بن معاضه الغامدي

جامعة الملك سعود - الرياض - المملكة العربية السعودية

٢٠٠٣ هـ - ١٤٢٤





● مجلس إدارة الجمعية الجغرافية السعودية ●

- | | |
|-------------------------|--|
| رئيس مجلس الإدارة. | أ.د. عبد العزيز بن عبد اللطيف آل الشيخ |
| نائب رئيس مجلس الإدارة. | أ.د. محمد شوقي بن إبراهيم مكى |
| أمين السر. | د. بدر بن عسادل الفقيه |
| أمين المال. | د. عبد الله بن حمد الصليع |
| عضو مجلس الإدارة. | د. عبد الله بن صالح الرقيبة |
| عضو مجلس الإدارة. | د. إبراهيم بن صالح الدوسري |
| عضو مجلس الإدارة. | د. إبراهيم بن محمد علي الفقي |
| عضو مجلس الإدارة. | د. محمد بن فوزان الفحاطاني |
| عضو مجلس الإدارة. | د. حضران بن خضر الشيبة |

● (ج) الجمعية الجغرافية السعودية، ١٤٢٤ـ

فهرسة مكتبة الملك فهد الوطنية أثناء النشر

العامدي، علي بن معاذة

محاكاة أثر تراكم أحطاء الحفائر الطبوغرافية. عقياس ١: ٥٠٠٠٠ على التحليل في نظم المعلومات الجغرافية. / علي بن معاذة العامدي - الرياض، ١٤٢٤ـ

٢٤×١٧ سم (سلسلة بحوث جغرافية، ٥٧)

ردمك: ٩٩٦٠-٩٤٢٤-٢-٢

١- الخرائط الطبوغرافية أ. العمارة

١٤٢٤/٣٠٥٩ ٩١٢٠١٤٨

رقم الإيداع: ١٤٢٤/٣٠٥٩

ردمك: ٩٩٦٠-٩٤٢٤-٢-٢

قواعد النشر

- ١- يراعى في البحوث التي تولى سلسة "مخطوط جغرافية" ، نشرها ، الأصالة العلمية وصحة الإخراج العلمي وسلامة اللغة .
- ٢- يتشرط في البحث المقدم للسلسة ألا يكون قد سبق نشره من قبل.
- ٣- ترسل البحوث باسم رئيس هيئة تحرير السلسلة .
- ٤- تقدم جميع الأصول مطبوعة على نظام MS WORD بيات التوافذ (Windows) على ورق بمحض A4، مع مراعاة أن يكون النسخ على وجه واحد، ويترك فراغ ونصف بين كل سطر وأخر بمحض ١٦ أبيض للهواش (بخط أسود للآيات القرآنية والأحاديث الشريفة). ويعن أن يكون الحد الأعلى للبحث ٧٥ | صفحة، والحد الأدنى ١٥ | صفحة.
- ٥- يرسل أصل البحث مع صورتين وملخص في حدود (٢٥٠) كلمة باللغتين العربية والإنجليزية.
- ٦- يراعى أن تقدم الأشكال مرسومة بالخبر الصيني على ورق (كلك) مقاس (١٣×١٨ سم، وترفق أصول الأشكال بالبحث ولا تتصق على أماكنها .
- ٧- ترسل البحوث الصالحة للنشر والمحذارة من قبل هيئة التحرير إلى محكمين اثنين على الأقل - في مجال التخصص من داخل أو خارج المملكة قبل نشرها في السلسلة.
- ٨- تقوم هيئة تحرير السلسلة بإبلاغ أصحاب البحوث بتاريخ تسلم مجموعتهم. وكذلك إبلاغهم بالقرار النهائي المتعلق بقبول البحث للنشر من عدمه مع إعادة البحوث غير المقبولة إلى أصحابها .
- ٩- يفتح كل باحث أو الباحث الرئيسي لمجموعة الباحثين المشاركون في البحث خمساً وعشرين نسخة من البحث المنشور .
- ١٠- تطبق قواعد الإشارة إلى المصادر وفقاً لـ :
يستخدم نظام (اسم / تاريخ) ويقتضي هذا النظام الإشارة إلى مصدر المعلومة في المتن بين قوسين باسم المؤلف متبعاً بالتاريخ ورقم الصفحة. وإذا تكرر المؤلف نفسه في مرجعين مختلفين يذكر

اسم المؤلف ثم يتبع بسنة المرجع ثم رقم الصفحة. أما في قائمة المراجع فيستوجب ذلك ترتيبها هجائياً حسب نوعية المصدر كالتالي :

الكتب : يذكر اسم العائلة للمؤلف (المؤلف الأول إذا كان للمرجع أكثر من مؤلف واحد) متبوعاً بالأسماء الأولى، ثم سنة النشر بين قوسين، ثم عنوان الكتاب، فرقم الطبعة-إن وجد- ثم الناشر، وأخيراً مدينة النشر .

الدوريات : يذكر اسم عائلة المؤلف متبوعاً بالأسماء الأولى، ثم سنة النشر بين قوسين، ثم عنوان المقالة، ثم عنوان الدورية، ثم رقم الجلد، ثم رقم العدد، ثم أرقام صفحات المقال، (ص ص ١٥-٥).

الكتب المحررة : يذكر اسم عائلة المؤلف متبوعاً بالأسماء الأولى، ثم سنة النشر بين قوسين، ثم عنوان الفصل، ثم يكتب (فيin) تحتها خط، ثم اسم عائلة المحرر متبوعاً بالأسماء الأولى، وكذلك بالنسبة للمحررين المشاركون، ثم (محرر ed. أو محررين eds.) ثم عنوان الكتاب، ثم رقم الجلد، فرقم الطبعة، وأخيراً الناشر، فمدينة النشر .

الرسائل غير المنشورة : يذكر اسم عائلة المؤلف متبوعاً بالأسماء الأولى، ثم سنة الحصول على الدرجة بين قوسين، ثم عنوان الرسالة، ثم يحدد نوع الرسالة (ماجستير/دكتوراه)، ثم اسم الجامعة والمدينة التي تقع فيها .

أما المFootnotes فلا تستخدم إلا عند الضرورة الفصوى وتختص للملحوظات والتطبيقات ذات القيمة في توضيح النص.

تعريف بالباحث : د. علي بن معاضه القامي، أستاذ مساعد، كلية الآداب، قسم الجغرافيا، جامعة الملك سعود، الرياض.

ملخص

تدرس هذه الورقة الأخطاء التي عادة ما تكتنفها خريطة طبوغرافية بمقاييس ١ : ٥٠٠٠٠٠ . وتحت مصطلح "تراكم الأخطاء" (Error Propagation)، تركز الدراسة على كيفية تراكم هذه الأخطاء أثناء التحليل الرقمي في نظم المعلومات الجغرافية، وما تأثير ذلك على مصداقية أو درجة الوثوق في المخرج النهائي . الجديد في هذه الدراسة، هو أن الأخطاء التي قد تم تقديرها وحساها في دراسات سابقة خاصة بالخرائط بشكل عام تم توظيفها في هذه الدراسة. طبقت الدراسة على جزء محدد على خريطة طبوغرافية من خرائط المملكة العربية السعودية، مع العلم أن الأخطاء المدروسة مستقلة عن مصدر إنشاء الخريطة، وبالتالي يمكن تعميم نتائج الدراسة على أي خريطة طبوغرافية بمقاييس ١ : ٥٠٠٠٠٠ .

بالرغم من أن الدراسة لم تشمل كل الأخطاء الممكنة في الخريطة، إضافة إلى أن الأخطاء المدروسة كانت تلك التي في أحسن الأحوال (القيم الأقل)، إلا أنه بمتزايد وتراكم تأثير الأخطاء فقد بدأ واضحاً على المخرج النهائي من التحليل . وعلى ضوء هذه النتيجة، فإن درجة الوثوق في تحليل رقمي معين يجري على خريطة بمقاييس ١ : ٥٠٠٠٠٠ بدأ عملياً قليلاً إلى حد لا يمكن الاعتماد على نتائجه، إلا إذا كان الاستخدام لهذه الخرائط يفي بالغرض، معنى أن الصحة غير ضرورية. بالرغم من أن الدراسة تؤكد خطورة استخدام خرائط بهذا المقياس أو أي مقياس متوسط في الدراسات التي تأخذ الصحة والدقة في الاعتبار، إلا أنها تبين لأول مرة ماذا يعني أن يكون خطأ بمقدار مثل ٣١,٠٧٩ متراً في قاعدة البيانات وكيف يتراكم و يؤثر على مصداقية التحليل .

أولاًً : تمهيد

موضوع البحث، وأهميته، وأهدافه:

بالرغم من تزايد بناء قواعد البيانات المكانية كماً ونوعاً، إلا أن معظم مصادر هذه القواعد خرائط تقليدية (ورقية). وملوون أن متطلبات الصحة (Accuracy) لهذه القواعد تعد أهم ما في هذه القواعد، إلا أن هذه المصادر التقليدية خاصةً الخرائط متوسطة المقاييس (مثلاً ١ : ٥٠٠٠٥) تعج بأنواع مختلفة من الأخطاء كماً ونوعاً. وهذه الأخطاء لا تخلو من حالتين، إما أخطاء مقصودة وذلك لضرورة التمثيل الخرائي الذي تفرضه عملية التعميم (Generalization)، أو أخطاء غير مقصودة ناتجة في الغالب من قصور في القياس، والتمثل، والإنتاج الخرائي. ولشهرة الخرائط الطبوغرافية ذات المقاييس ١ : ٥٠٠٠٥، خاصةً وأنها ما زالت تستخدم في شكل تقليدي لأغراض تحليلية، فإن الحاجة لمعرفة ما يكتنف هذا النوع من الخرائط من أخطاء عند هذا المقاييس، ومعرفة أثر هذه الأخطاء على التحليل الرقمي في نظم المعلومات الجغرافية، يعد أمراً مرغوباً ومثيراً. المثير هنا أن هذه الأخطاء تتواли وتتراكم أثناء إدخالها وتحليلها رقمياً.

هدف هذه الدراسة إلى:

أولاًً: تزيد هذه الورقة تحت مصطلح "تراكم الأخطاء" (Error Propagation) أن تدرس تراكم أخطاء خرائط ١ : ٥٠٠٠٥ الطبوغرافية أثناء التحليل في نظم المعلومات الجغرافية، وذلك بناءً على الأخطاء التي قد تم حسابها وتقديرها في



دراسات سابقة. أي أن الدراسة لن تعمد إلى تقدير ما تم تقديره من أخطاء طالما أنها موثقة علمياً ويشهد بها في الدراسات المتعلقة بأخطاء الخرائط.

ثانياً: هدف الدراسة إلى تحديد مقدار الوثوقية في التحليل الرقمي العادي بدون خريطة (Modelling) للخطأ أو الغموض (Uncertainty)، وذلك من واقع مقارنة تحليل خرائطي معين باستخدام نظم المعلومات الجغرافية لا يتضمن حساب ونمذجة الأخطاء، وتحليل آخر يأخذ الأخطاء في الاعتبار.

من المتوقع أنه بجمع الأخطاء التي تم حسابها، ومحاكاة تأثيرها على التحليل ستقود إلى نتيجة تؤكد ما تم تأكيده في الدراسات المماثلة في أن الأخطاء تؤثر بدرجات متفاوتة على التحليل وذلك حسب مقدار الخطأ. أما الجديد فإن الدراسة تقوم بمحاكاة تراكم جميع هذه الأخطاء لأول مرة لتحديد مدى تأثيرها فعلياً على التحليل، وبالطبع سيكون هذا المدى مؤشراً على مصداقية نتائج التحليل الذي يتم على قاعدة بيانات خاصة بخرائط ١:٥٠٠٠٠٠ الطبوغرافية، خاصة وأن استخدام مثل هذه الخرائط دون معرفة تأثير الخطأ عمل روتيني لدى مستخدمي هذه الخرائط سواء في شكلها التقليدي أو الرقمي.

ثانياً: خالية

بما أن الورقة تتناول الأخطاء وأنواعها، ثم محاكمتها وأثرها على التحليل فإنه من المناسب أن يقسم هذا الجزء إلى قسمين، ليشمل الإطار النظري والدراسات السابقة في هذا الموضوع.



الأخطاء والغموض في قواعد البيانات المكانية:

إن موضوع الغموض (Uncertainty) والأخطاء (Errors) التي قد تحويها قاعدة بيانات مكانية (Spatial Database) أمر ليس بالغريب ولا بالجديد. فمعلوم أن الأخطاء الموجودة في الخرائط التقليدية (الورقية) ستنتقل إلى الحاسوب كما هي، أو تتضخم (أو تراكم) (Propagated)، وذلك نتيجة عملية التحويل إلى شكل رقمي. لكن المشكلة الأكبر أن هذه الأخطاء تتضخم أيضاً أثناء العمليات التحليلية في نظم المعلومات الجغرافية. لهذا فالأخطاء تشمل تلك الموجودة أصلاً في المصادر (الخرائط) وتلك الناتجة من التحليل. وبالطبع كل هذا يؤثر سلباً وبدرجات متفاوتة على مصداقية نتائج التحليل بنظم المعلومات الجغرافية.

يمكن أن تشمل الأخطاء الخاصة ببيانات الخرائط الرقمية (Digital Map

(Data) ما يلي (Openshaw, et al 1991):

١) غموض في تحديد المكان

٢) أخطاء خاصة بالترقيم (Digitization)

٣) أخطاء خاصة بدرجة الوضوح والصحة المرتبطة بمقاييس الخريطة.

٤) أخطاء خاصة بالتصنيف والتعميم في البيانات الخاصة بالخرائط

الموضوعية والصور الفضائية.

وبالرغم من أن مستخدم نظم المعلومات الجغرافية يستطيع بسهولة إجراء عمليات تحليلية على البيانات، فإنه من السهل أيضاً الحصول على مخرجات فيها من الأخطاء المتراكمة بطريقة يصعب التكهن بمحملها ونوعها. كل ذلك، لأن نظم المعلومات الجغرافية لم توظف طرقاً خاصة و مباشرة للتعامل مع الأخطاء كأحد التحليلات الرئيسية فيها. كل ما هو معلوم لدى معظم مستخدمي هذه الأنظمة،



أنه في حالة الحصول على منتج عالي الصحة فإنه يجب الحصول بيانات تفصيلية كبيرة (كبيرة المقياس).

لقد حظي موضوع الصحة، والأخطاء، والغموض باهتمام العديد من الباحثين فعلى سبيل المثال لا الحصر، بليكمور (Blakemore, 1984) وكريسمان (Chrisman, 1989) ودرموند (Drummond, 1987) وقودتشايد، وقوبال (Walsh, et al 1987) (Goodchild and Gopal, 1989) (Fisher, 1990, 1991a, 1991b, 1992, 1995) (Burrough, 1986) (Heuvelink and Burrough, 1993) (Heuvelink and Burrough, 1993, 1996, 1997). وبالرغم مما أوضحته مثل هذه الدراسات وغيرها كثير، إلا أنه وإلى الآن لا يوجد نظام واحد يتضمن أداة تحليلية واضحة و مباشرة للتعامل مع أنواع ونماذج الخطأ في البيانات.

من المفيد هنا الإشارة إلى ما ذكره بارا (Burrough, 1986) حول العوامل التي تحكم في الأخطاء التي قد ترتبط بمعالجة البيانات المكانية ، فقد حددها في ثلاثة مجموعات كالتالي:

- ١ - مصادر للخطأ واضحة، وتشمل عمر مصادر البيانات، الخطية المساحية، مقاييس الرسم، وكثافة الظواهر المرصودة.
- ٢ - الأخطاء الناتجة من الاختلافات الطبيعية أو من القياسات الأصلية وتشمل الأخطاء المتصلة بالصحة وتحيز الراصد.
- ٣ - الأخطاء الناتجة من عملية التحليل، مثل أخطاء في حساب الأعداد، وعمليات الربط الطبوولوجي الضعيف، وأخطاء عمليات اشتقاء أو استدراج (Interpolation) بيانات جديدة.

هذه المجموعات بما فيها من تنوع تزيد تعقيداً وصعوبةً أثناء العمليات الخاصة بتجهيز البيانات، ومعالجتها، وعمليات التحليل. فعلى سبيل المثال، نجد أن الأخطاء الناجمة عن الترقيم يمكن أن تنقسم إلى مجموعتين الأولى وتشمل خطأ الخريطة الأصلي، والثانية وتشمل الأخطاء المتراكمة نفسها.

كما صنف ثابا وبوصير (Thapa, and Bossler 1992) الأخطاء الخاصة بجمع البيانات إلى مجموعتين رئيسيتين: الأولى، وتشمل أخطاء الطرق الرئيسية في جمع البيانات، والثانية، تشمل أخطاء الطرق الثانوية. أما أخطاء المجموعة الأولى، فتشمل الأخطاء الشخصية، أخطاء المعدات، وأخطاء بيئية (لها علاقة بالتغييرات البيئية مثل الحرارة، والضغط وغيرها). أما الأخطاء التي تنتج من الطرق الثانوية فتشمل: ١) أخطاء توقيع نقط التحكم (على الخريطة); ٢) أخطاء التوليف؛ ٣) أخطاء الرسم؛ ٤) أخطاء التعميم؛ ٥) أخطاء الإنتاج؛ ٦) أخطاء تطابق الألوان؛ ٧) أخطاء تشوّه (تحجّد) أوراق الخرائط؛ ٨) أخطاء استخدام المقياس الخطأ؛ ٩) أخطاء الغموض في تحديد الظاهرة؛ ١٠) أخطاء المبالغة (تضخيم) في تمثيل الظواهر؛ ١١) أخطاء طرق إدخال البيانات مثل الترقيم وغيرها. ذكر الباحثان حساب معظم هذه الأخطاء كما وردت في دراسات سابقة مثل دراسة ميليتق (Maling, 1989).

وبالرغم من أن عملية التعميم الخرائطي قد تحظى بأهم مصادر الغموض والخطأ، إلا أنه ولطبيعة العملية نفسها كان من الصعب تقديم رقمٍ محددٍ يمثل مجموع الخطأ الناتج أو حتى المتوقع من هذه العملية.

وبالرغم أنه لا توجد خريطة خالية من الأخطاء، مهما كانت مفصلة، إلا أن الطلب على الصحة يزداد أهمية عند التعامل مع نظم المعلومات الجغرافية.

وسيبقى هدف كل مستخدم أن يجد طرقاً تحليلية واضحة خاصة بالخطأ والغموض لعرفة آثاره على نتائج أي تحليل.

تراكم ومحاكاة الأخطاء في نظم المعلومات الجغرافية:

لأجل معرفة تأثير وتأثيرات الخطأ في نظم المعلومات الجغرافية لا بد من (Wood, and Fisher, 1993) :

- ١ - تحديد حدوث الغموض (Uncertainty) في البيانات المكانية.
- ٢ - تحديد التوزيع المكاني لهذا الغموض.
- ٣ - تحديد تأثير هذا الغموض على العمليات اللاحقة (التحليلية) في نظام المعلومات الجغرافي.

مع أن موضوع الخطأ في قواعد البيانات المكانية قد أشير إليه في منتصف الثمانينيات تقريباً، إلا أنه لم يكن محدداً بنظم المعلومات الجغرافية إلا في أوائل الثمانينيات. لكن لم يتم فعلياً تقديم وتطبيق طريقة في نماذج الخطأ تحت مصطلح تراكم الخطأ في نظام المعلومات الجغرافية إلا في ١٩٩١م، (MonteCarlo، Openshaw, et al, 1991) . ولقد طبقت طريقة مونت كارلو (MonteCarlo)، وهي طريقة اختبار إحصائية (الثقة) (Hope, 1968). ولأنها كانت المرة الأولى لتطبيق هذه الطريقة في نظم المعلومات الجغرافية حيث النظم نفسها ما زالت في طور التطوير، فقد تطلب العملية كثيراً من الجهد في البرمجة والتحويل من شكل خرائطي إلى آخر. وكما تتطلب العملية، فلقد كررت عملية التحليل مائة مرة، كل مرة يضاف أخطاء عشوائية إلى البيانات الخطية (Vector) . وأن التحليل كان متعلقاً بتحديد مكان أمثل لرمي النفايات النووية، فلقد ظهرت النتائج على

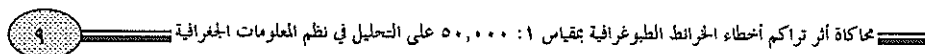


شكل خرائط بدرجات مختلفة من الوثوقية بناءً على درجات الاحتمالية في اختيار الموقع.

قدم فيشر أيضاً دراسته الأولى لتراكم الخطأ (Fisher, 1991). طبق في دراسته طريقة مونت كارلو، وبين أنه بتكرار التحليل ٢٠ مرة يمكن الحصول على ثقة (p) تساوي ٥٠٪، إذ أنها موافقة أيضاً لنفس القيمة التي استخدمت أول مرة بواسطة هوب (Hope, 1968). وبهذا التسهيل في تطبيق الاختبار بطريقة مونت كارلو، قيم الباحث صحة تقدير الأراضي الزراعية والتربة في مناطق الدراسة المختارة. وينمذجة الخطأ بطريقة محاكاة التقييم، بينما النتائج أن الخطأ كان في حدود ٦٪ فوق وتحت القيم الحقيقية.

قدم فيشر بعد ذلك دراسات أخرى (مثل: Fisher, 1992, 1995) في مجال تأثير تراكم الخطأ على تحديد الرؤية (Viewshed Analysis)، ليتبع خريطة واحدة تبين أن مجال الرؤية في شكل درجات من الاحتمالية (Probable Viewshed وليس ثنائياً) (Binary, or Boolean Viewshed)؛ معنى أن الرؤية مع وجود الخطأ أو الغموض تكون احتمالية (p)، تدرج من (٠٪) غير مرئي تماماً إلى (١٠٠٪) مرئي تماماً. طبق الباحث على نموذج لارتفاع الآلي (DEM) مبني مباشرةً من الصور الفضائية.

أيضاً، قدم هيفيلنك وبارا (Heuvelink, and Burrough, 1993) دراسة بينما فيها أن نمذجة التحليل المنطقي (Logical)，التي تنتج خرائط ثنائية، تعد طريقة غير ملائمة، لأن البيانات تحمل أخطاء ولا تمثل فعلياً الحقيقة، وإنما باستخدام محاكاة الخطأ ستنتج خرائط احتمالية تعد أكثر ملاءمة. كما استخدم الباحثان طريقة مونت كارلو لمحاكاة الأخطاء في تصنيف التربة.



محاكاة أثر تراكم أخطاء المترادف الطبوغرافية بمقاييس ١:٥٠,٠٠٠ على التحليل في نظم المعلومات الجغرافية

أما فيريجين (Veregin, 1994) فقد قدم دراسة حول تكامل عملية المحاكاة وعملية تراكم الخطأ لعملية النطاق (Buffer analysis) في نظم المعلومات الجغرافية. ولقد قدم من خلال النمذجة لعملية النطاق، طريقة رياضية تعبر عن كيفية تراكم الخطأ من الطبقة الأصلية وأثناء التحليل للحصول على النطاق المستخرج. ولقد بين بأن أكثر النطاقات صحة هي تلك المرتبطة بالطبقة الأصلية الصحيحة، وبنطاق كبير الحجم، وبخالياً مشتتاً التوزيع المكاني، وبتوزيع مكاني متكتل للأخطاء الموضوعية (Thematic Errors).

ولقد قدم هنتر وغودتشايد (Hunter, and Goodchild, 1996) نموذجاً للتعامل مع الخطأ في البيانات الخطية (Vector Data) في نظم المعلومات الجغرافية. حيث يأخذ النموذج في الاعتبار الخطأ في البعد الثنائي (y, x) وذلك بحساب التشوه في هذين الاتجاهين.

أيضاً، بين الباحثان هنتر وغودتشايد (Hunter, and Goodchild, 1997)، أن الخطأ الموجود في الانحدار (Slope) وواجهة الانحدار (Aspect) يعتمد على التركيب المكاني للأخطاء الموجودة في نموذج الارتفاع (DEM). وقدما نموذجاً عاماً لأخطاء نموذج الارتفاع.

قدم هيوفلنك (Heuvelink, 1998) دراسة شملت معظم ما قام به خلال عشر سنوات. بين الباحث نماذج الخطأ والتنوع في البيانات، ثم استخدام أربعة طرق لمحاكاة الخطأ في نظم المعلومات الجغرافية وتشمل: ١) طريقة تيلور (الدرجة الأولى)؛ ٢) طريقة تيلور (الدرجة الثانية)؛ ٣) طريقة روزينلوث (Rosenblueth's Second Order Taylor Method)؛ ٤) طريقة مونت كارلو (Monte Carlo Method). ولقد قدم

الباحث (Software) برنامجاً مستقلاً للتعامل مع محاكاة الأخطاء في نظم المعلومات الجغرافية. كما أكد الباحث على أن نماذج الخطأ نفسها تختلف حسب البيانات وتوزيعها المكاني، بل وتحتاج حسب العمليات التحليلية. وبالرغم من أن متطلبات محاكاة الخطأ قد تكون مكلفة من الناحية الحاسوبية، إلا أن هذا لا يجب أن يعوق إجراء محاكاة الخطأ بشكل روتيني من قبل المستخدم وذلك لأهمية وخطورة الخطأ وتأثيره على نتائج التحليل في نظم المعلومات الجغرافية.

كما قام ناكيرتس وآخرون (Nackaerts, et al, 1999) بتقييم صحة الرؤية الاحتمالية، ولقد توصل الباحثون إلى أن عدد مرات التحليل التي تتطلبها طريقة مونت كارلو قد لا تكون بالضرورة في حدود العشرين مرة، والتي ذكر فيشر (Fisher, 1991) أنها ستعطي ثقة عالية، بل لأجل أن تكون الثقة في النتائج عالية لابد من أن يكون العدد أكبر من ذلك. لأجل ذلك قدموا طريقة إحصائية للمستخدم بحيث يحدد أولاً فترات مثالية للثقة المطلوبة، وبناءً عليها يتم تحديد مقدار التكرار.

وفي دراسة لباخمان والجوور (Bachmann and Allgower, 2002)، بين الباحثان باستخدام نموذج روثرمل (Rothermel's Model) في نمذجة سلوك الحرائق في المناطق الحرجية والغابات، كيف أن الغموض في المتغيرات المدخلة (وعدددها ١٧) يمكن أن يؤدي إلى أخطاء كبيرة في النتائج، وعليه لا بد منأخذ هذه الأخطاء أثناء التحليل في الاعتبار. ولقد بين الباحثان أن محاكاة الخطأ بطريقة تيلور تعد أرخص وأسهل من الناحية الحاسوبية مقارنة بطريقة مونت كارلو.

بحد من خلال هذا العرض لهذه الدراسات أن أخطاء الخرائط الطبوغرافية التي تم حسابها والاستشهاد بها عند الحديث عن صحة الخرائط، لم يلتفت إليها عند

منذجة تأثير تراكمها على التحليل الرقمي بطريقة المحاكاة، لذا ولأهمية ذلك فإن هذا هو موضوع هذه الدراسة.

ثالثاً: منهجية الدراسة

لتحقيق أهداف هذه الدراسة، لابد أولاً من تحديد أنواع الأخطاء وكميتها، وكيف تم حسابها سواء كانت أفقية أو رأسية. وثانياً الطريقة التي استخدمت في محاكاة تأثير تراكم هذه الأخطاء على التحليل الرقمي. يتبع ذلك، تقدم للبيانات التي استخدمت وكيف تم تحويلها من شكل خطى (Vector) إلى شكل خلوي لتمثيل السطح في شكل نموذج للارتفاع الآلي (DEM). سوف يتم تقسيم النتائج بصرياً من خلال الفحص البصري للخرائط الناتجة، ورقمياً وبيانياً. استخدم برنامج إدريسي (Eastman, 1997) في تطبيق الدراسة.

١- تحديد أنواع وحجم الأخطاء:

لأجل معرفة تأثير أخطاء خريطة طبوغرافية بمقاييس ١ : ٥٠٠٠٠ على نتائج تحليل رقمي في نظم المعلومات الجغرافية، لا بد من تحديد أنواع هذه الأخطاء نوعاً وكمّاً. وما أن الدراسة ستمثل جزءاً من خريطة طبوغرافية رقمياً، وهو إنشاء خريطة ارتفاع ثلاثي (DEM) ثم إجراء تحليل معين عليها، لذا ستتناول الدراسة حساب الأخطاء في شكل مربع متوسط الجذر (RMS) التي تشملها الخرائط وذلك كما وردت في دراسة ثابا وبوصير (Thapa, and Bossler, 1992)، ودراسة ميلينق (Maling, 1989). هذه الأخطاء خاصة بالأخطاء الأفقية، أما

الأخطاء الرئيسية فسوف يعتمد على حسابها إحصائياً (Eastman, 1997). أما خطأ مربع متوسط الجذر (RMSE) فيحسب كالتالي:

$$RMSE = \left[\sum_{i=1}^n (z_i - z_i^*)^2 / n \right]^{1/2}$$

حيث إن n عدد نقاط العينة (i), و z_i مقدار القيمة المقاسة عند نقطة العينة و z_i^* القيمة الحقيقية عند هذه النقطة.

الأخطاء الأفقيّة:

حدّ ثابا وبوصلر (Thapa, and Bossler, 1992) أحد عشر خطأ، منها سبعة أخطاء أمكن تقدير قيم معينة لها في شكل مربع متوسط الجذر، وذلك بناءً على دراسة ميلينج (Maling, 1989). هذه القيم تراوحت بين حد أدنى (أخطاء في أفضل الأحوال) وبين حد أعلى (أخطاء في أسوأ الأحوال).

أما الأخطاء التي تم تقدير قيمها فهي:

- ١- خطأ توقيع نقاط التحكم (على الخريطة)، وقدّرت قيمته من ١٧,٠٠ إلى ٣٢,٠٠ مللم. (الخطأ الأول e^1).
- ٢- خطأ التوليف (للخرائط الطبوغرافية) الناتج من مصادر مختلفة ووضعها على مقياس موحد. تراوح قيم الخطأ بين ٣٠,٠٠ و ٣٢,٠٠ مللم. (الخطأ الثاني e^2).
- ٣- خطأ الرسم، (خطأ العمل اليدوي أثناء الرسم) في المرحلة الأولى من تمثيل الطواهر، وقدّر بين ٦,٠٠ إلى ١٨,٠٠ مللم. (الخطأ الثالث e^3).

- ٤- خطأ عمليات التصوير والتحميس، وقدر بين ١،٠ إلى ٢،٠ مللم. (الخطأ^٤ e^٤).
- ٥- خطأ عمليات الطباعة بالألوان، ويتراوح بين ١٧،٠ و ٣٠،٠ مللم. (الخطأ^٥ e^٥).
- ٦- خطأ تشوه (انكماش، تعدد) ورق الخرائط، ويتراوح بين ٢٤،٠ إلى ٤٨،٠ مللم. (الخطأ السادس^٦ e^٦).
- ٧- خطأ الترقيم، وقدر بـ ٢٥،٠ مللم. (الخطأ السابع^٧ e^٧).

أما الأخطاء التي يصعب تقدير قيم معينة لها، إما بسبب صعوبة العملية نفسها أو لعدم وجود دراسات خاصة لها، فتشمل أخطاء التعميم الخرائطي، وتعد هذه العملية أكبر مصدر للأخطاء ، ولكن لطبيعة هذه العملية المعقّدة فإنه يصعب تحديد قيمة معينة تمثل كل الأخطاء الممكنة الناجمة من تنفيذ هذه العملية. ومن الأخطاء الأخرى التي لم يتم تحديد قيم لها، أخطاء استخدام المقياس الغير مناسب، وأخطاء الغموض في تحديد الظواهر، وأخطاء عمليات التحويل (Transformation) في الحاسوب، والتي تشمل أيضاً أخطاء التحويل من شكل خطى (Vector) إلى شكل خلوى (Raster) وغيرها.

ولإيجاد قيمة واحدة للخطأ تمثل مجموع القيم المحسوبة أعلى، فإنه وبافتراض علاقة خطية توجد بين الأخطاء ومجموع الخطأ النهائي، فإن مجموع الخطأ الناتج (Te) يكون (Te = (e₁² + e₂² + e₃² + e₄² + e₅² + e₆² + e₇²) 1/2) :

$$Te = (e_1^2 + e_2^2 + e_3^2 + e_4^2 + e_5^2 + e_6^2 + e_7^2) 1/2$$

الحد الأعلى للخطأ عند مقياس الخريطة، مجموع خطأ مربع متوسط الجذر Total

(RMS)

$$T^1(RMS) = (0.32^2 + 0.32^2 + 0.18^2 + 0.2^2 + 0.30^2 + 0.48^2 + 0.25^2) / 1/2 \\ = 0.81 \text{ mm}$$

الحد الأدنى للخطأ (في أفضل الأحوال) ($Total RMS$) :

$$T^2(RMS) = (0.01^2 + 0.30^2 + 0.06^2 + 0.10^2 + 0.17^2 + 0.24^2 + 0.25^2) / 1/2 \\ = 0.50 \text{ mm}$$

وبناءً على هذا نرى أن موقعاً ما على خريطة بمقاييس ١:٥٠٠٠٠٥ يمكن أن يكون (فيأسوء الأحوال) على بعد ٤٢ متراً عن موقعه الحقيقي، و٥٠ متراً في أحسن الأحوال. بالطبع كلما كان المقياس أكبر مقدار الخطأ أكثر قبولاً لكثير من التطبيقات. ستستخدم هذه الدراسة مجموع الحد الأدنى للخطأ وهو ٢٥ متراً، وذلك لتمثيل الأخطاء الأفقيّة.

أما حساب الخطأ الرأسي فإنه وبافتراض أن الخطأ في الارتفاع عشوائياً فإنه من الممكن إحصائياً حساب مربع متوسط الجذر (RMS) باستخدام المنطق التالي (Eastman, 1997) :

١- يتوقع أن ٩٠٪ من كل القسم في التوزيع الطبيعي (Normal Distribution) ستكون في حدود ١,٦٤٥ احرف معياري من المتوسط (القيمة حسبت من واقع الجداول الإحصائية).

١- الحساب مبني على الخرائط المتاحة بواسطة معظم البيانات الوطنية الكبيرة المختصة بإنتاج الخرائط الطبوغرافية، والتي تشترط كمقاييس لصحة بأنه لا بد أن تكون ٩٠٪ من الواقع على الخريطة المختارة لاختبار الصحة في حدود نصف الفاصل الرأسي المحدد (حسب مقياس الرسم).



٢- بما أن خطأ مربع متوسط الجذر ($RMSE$) مماثل لانحراف معياري في حالة كون المتوسط هو القيمة الحقيقية، فإن نصف الفاصل الكتوري يغطي ١,٦٤٥ من أخطاء مربع متوسط الجذر.

$$1.645 RMS = c/2$$

حيث إن C يمثل الفاصل الكتوري (٢٠ متراً خريطة ١ : ٥٠٠٠٠ المستخدمة في الدراسة).

وبالتعويض في المعادلة السابقة:

$$RMS = c/3.29$$

$$RMS = 20/3.29$$

$$RMS = 6.079$$

مجموع الأخطاء الأفقية والرأسمية:

نجد مما سبق أن مجموع الأخطاء عند مكان معين من ثلاثة أبعاد في أحسن الأحوال، تكون ٣١,٠٧٩ متراً (٢٥ متراً للأخطاء الأفقية، و٦,٠٧٩ أمتر للأخطاء الرأسية)، لذلك ستحاكي هذه القيمة (٣١,٠٧٩) في كل خلية في نموذج الارتفاع (DEM) الذي سينشأ للجزء المقطوع من الخريطة الطبوغرافية المستخدمة في هذه الدراسة.

يبقى السؤال لماذا نجمع الأخطاء الرأسية مع الأخطاء الأفقية، طالما أنها ستطبق على سطح من ثلاثة أبعاد؟ إن الإجابة على ذلك واضحة وهي ببساطة أن أي مكان على السطح المنتج سوف يتضمن أخطاء أفقية وأخطاء رأسية، لهذا لا يمكن إغفال هذا الأمر، فكما أن الارتفاع قد يزيد أو ينقص عند كل خلية في السطح كذلك الموقع لكل خلية فقد ينحرف في أي اتجاه عن الموقع الفعلي على الأرض. فإذا ما أردنا أن نقوم بتحليل للرؤية مثلاً كما سوف يتم في هذه الدراسة،



محاكاة تراكم أخطاء الخرط الطبوغرافية بقياس ١:٥٠,٠٠٠ على التحليل في نظم المعلومات الجغرافية

من نقطة رصد معينة ولنقل في حدود دائرة نصف قطرها ١ كم مثلاً، فإنه من المنطقي أن يتسبب الخطأ الأفقي في جعل بعض الخلايا تكون داخل أو خارج دائرة الرؤية مثلاً ما يتسبب الخطأ الرأسى في جعل الخلايا إما مكسورة أو محجوبة. ولنطبق ذلك في الميدان نفسه، فلتختبر كيف حركة صغيرة بالرأس قد تجعل تلك المناطق التي كانت من قبل محجوبة تصبح مكسورة للرأي، وكيف أن حركة أفقية قد تجعل المناطق المحجوبة مكسورة أو العكس. هذه حركات أفقية ورأسية صغيرة فكيف بحركة في حدود ٣١,٠٧٩ متراً! سوف نرى تبعات هذا الخطأ (٣١,٠٧٩ متراً) على التحليل، بالرغم من أن الباحث بين أن هذا الخطأ متواضع، وذلك كونه يعد مقدار الخطأ في أحسن الأحوال، وأنه يتي كثير من الأخطاء لم تخسب.

٢- محاكاة تراكم الأخطاء بطريقة مونت كارلو Monte Carlo Error

:Simulation

لتطبيق طريقة مونت كارلو في هذه الدراسة، كطريقة إحصائية في نظم المعلومات الجغرافية، فإن الطريقة تبدأ بتحديد مقدار ونوع التوزيع المكاني للخطأ في الطبقات الأصلية المستخدمة في التحليل. كل طبقة يدخل عليها الخطأ عشوائياً. يتم بعد ذلك تطبيق تحليل معين في نظم المعلومات الجغرافية حيث سيتخرج مُخرجاً مختلفاً عن ذلك الناتج من نفس التحليل بدونأخذ الأخطاء في الحسبان. يتبع تكرار هذا التحليل عدد (M) من المرات مجموعة (M) من الطبقات المخرجة. يمثل شكل هذه الطبقات في مجموعةها في طبقة نهائية واحدة شخصية أو نموذج الخطأ (Error Model) الذي تضمنته الطبقة الأصلية وكيف تم تراكمه في الطبقة النهائية.

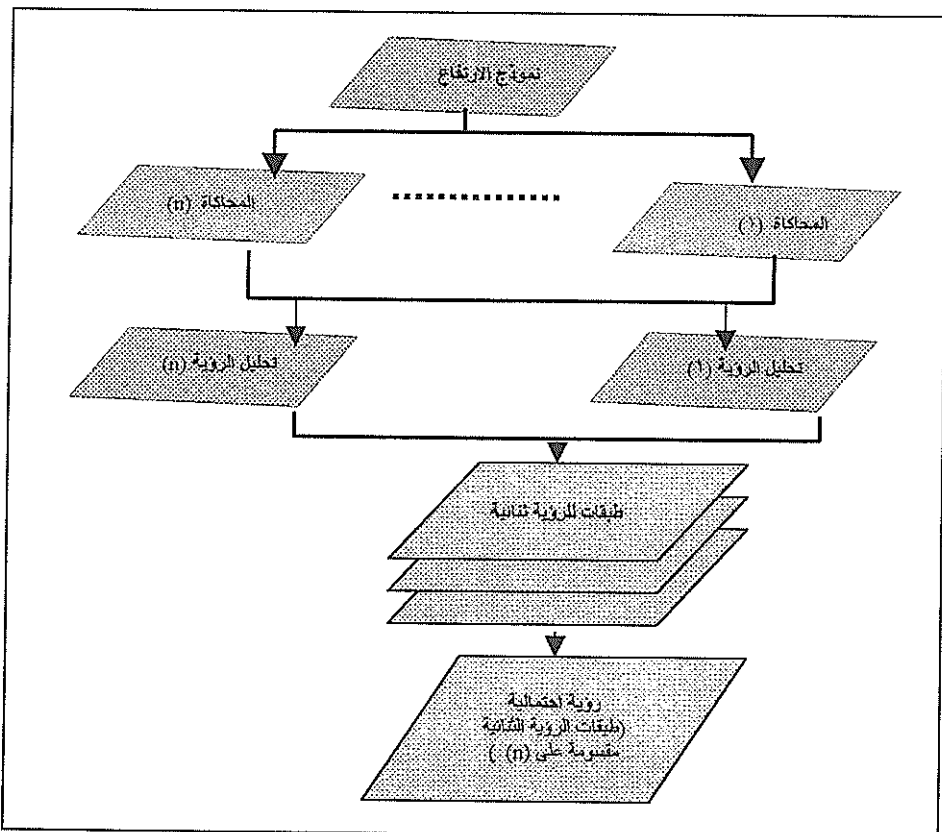
بافتراض أن مربع متوسط الجذر (RMS) مماثل بشكل كبير للانحراف المعياري، وإذا افترض بأن المتوسط كان صفرًا (٠)، يمكننا إذاً تحديد الخطأ المحتمل لأي نقطة وذلك بإنتاج عدد عشوائي (Random Number) بناءً على توزيع طبيعي يكون متوسطه يساوي صفرًا وانحرافًا معيارياً يساوي مربع متوسط الجذر. عندما تضاف هذه القيمة إلى الارتفاع فإنها تعطي تقديرًا أكثر صحة لارتفاع عند هذه النقطة (الخلية) بدلاً من تلك المسجلة في نموذج الارتفاع الأصلي. يتم بعد ذلك إجراء تحليلٍ للرؤية (Viewshed Analysis) بتكرار مقداره ٢٠ مرة، لتجتمع بعدئذ كل الطبقات المخرجة وتقسم على ٢٠ ليتخرج مخرجًا واحدًا يمثل التحليل النهائي الذي يمثل الرؤية المحتملة (Probable Viewshed) والتي أخذت في الاعتبار الخطأ الأصلي وتراكمه أثناء عملية التحليل. يشرح شكل (١) محاكاة الخطأ بطريقة مونت كارلو لإنتاج رؤية محتملة.

لقدُ استخدم برنامج إدريسي (IDRISI) (Eastman, 1997) في تنفيذ عملية المحاكاة والتحليل في هذه الدراسة. وكما يبين الشكل (١)، فمنطقة الدراسة قد أضيف إليها في كل خلية خطأ خطأ بطريقة عشوائية بافتراض أن هناك توزيعاً طبيعياً للأخطاء حيث كان المتوسط (٠) والانحراف المعياري ٣١٠٧٩ متراً. ولقد ساعد وجود الوظيفة التحليلية المسماة RANDOM في برنامج إدريسي على تنفيذ عملية المحاكاة. بعد ذلك تم جمع الطبقة الناتجة من هذه العملية مع الطبقة الأصلية التي تمثل الارتفاع. بعد ذلك تم إجراء تحليلٍ للرؤية ليتخرج خريطة ثنائية (تكون القيم (١) و (٠)، لتعني (مرئي) و (غير مرئي) على التوالي). كررت هذه العملية ٢٠ مرة لتعطي ثقة مقدارها ٥٠٠٥ -حسب اختبار فرضية طريقة مونت كارلو- (Fisher, 1991). إذ أنه إذا كررت العملية عدد من المرات (n) فإن معدل الرؤية



شكل رقم (١)

**مخطط لسير عملية محاكاة الأخطاء المستخدمة في الدراسة بطريقة مونت كارلو
أثناء تحليل الرؤية في نظم المعلومات الجغرافية.**



المصدر: من عمل الباحث.

(Fisher, 1991) يتيح احتمالية الرؤية الفعلية لمكان معين (Binary Viewsheds)

$$P(v)_{ij} = \frac{1}{n} \sum_{k=1}^n v k_{ij}, \text{ and } 0 \leq p(v) \leq 1 \text{ for each } i, j$$

حيث إن V_k تمثل الاحتمالية لخلية (Cell) في صف (i) وعمود (j) في نموذج الارتفاع (DEM)، و v_k الرؤية الثنائية عندما تكون $v_k = 1$ أو $v_k = 0$.

نرى في شكل (١) أن الخريطة الناتجة النهائية (مجموع الطبقات الثنائية)، وكما تشرحه المعادلة أعلاه، تكون الخلايا التي تحمل قيمة (١) في مجال الرؤية الكاملة، والخلايا ذات القيم الأصغر ستكون نسبياً أقل احتمالية في مجال الرؤية. بالطبع ستكون الخلايا التي تحمل قيمة (٠) في نطاق خارج الرؤية تماماً، وذلك كونها لم تكن في أي رؤية ثنائية من خرائط أو طبقات الرؤية الثنائية. تسمى الطبقة النهائية بالرؤبة المحتملة (Probable Viewshed).

منطقة الدراسة:

طبقت الدراسة على أحد روافد وادي جو في منطقة حائل بالمملكة العربية السعودية من خريطة ١:٥٠٠٠٠ الطبوغرافية (شكل ٢، أ). في حدود 3×5 كم تقريباً، وهي كما يتضح من الشكل منطقة حوض مائي. لقد تم إدخال الخريطة إلى الحاسب بعنابة بواسطة الترقيم (Digitizing) وتسجيل (Registration) بلغت صحته (كخطأ مربع متوسط الجذر RMSE) أفضل من ٤٠٠٠ بوصة (وحدة القياس على طاولة الترقيم). تم بعد ذلك تمّ اقتطاع جزء أصغر (شكل ٢، ب) حيث تم تحويله من الشكل الخطى (Vector) إلى الشكل الخلوي (Raster) حيث تم بعده إنتاج نموذج ارتفاع (DEM) لهذا الجزء في حدود 201×201 خلية، بدرجة وضوح في حدود ٤ أمتر. يعتقد الباحث أن

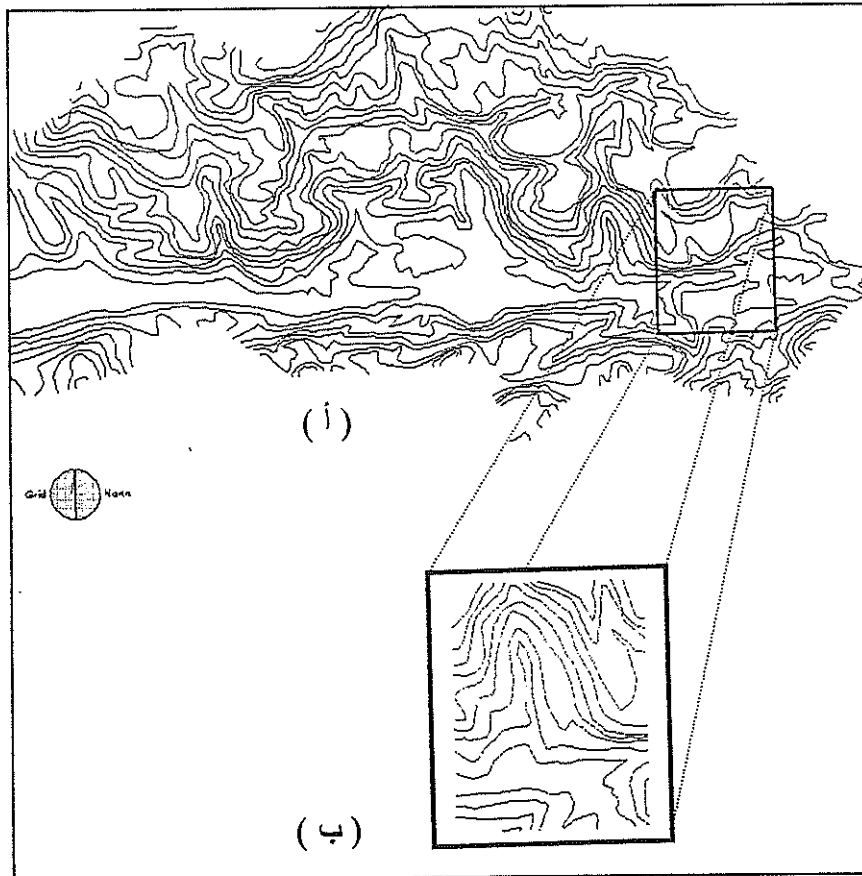


هذا الجزء كافٍ لنمذجة الأخطاء ومحاكاة تأثيرها خاصة وأن الدراسات المماثلة تأخذ مناطق دراسة في حدود هذا الجزء تقريرياً.

بالنسبة لعملية الاشتباك (Interpolation) التي استخدمت في إنشاء نموذج الارتفاع، فإن وجود الأخطاء النهائية التي يمكن أن تنتفع بعد الاشتباك أمر وارد وهي أخطاء محاكمة بالعملية نفسها (نوعها)، ومقدار الأخطاء في الخريطة الأصلية، والأخطاء التي قد تحدث من الترقيم. أما نوع العملية التي تم استخدامها في الاشتباك فهي Distance Weighted Average، حيث اشتقت القيم الجديدة لكل خلية من ٨ نقاط كحد أعلى. وكما تم إيضاحه سابقاً، فإن الخطأ الناتج لم يتم حسابه نظراً لكون الخطأ الناتج متراكماً من أكثر من خطأ وعزل خطأ عملية الاشتباك نفسها يعد أمراً صعباً طالما أنه نتيجة تراكم أخطاء ساهمت جميعها في خلقه بشكل لا يمكن التنبؤ به. لكن، من المتوقع أنه كلما زاد عدد النقاط التي يستدرج أو يشتق منها كلما قلت أخطاء عملية الاشتباك، وعليه فإنه من الأفضل تحويل خطوط الكثتور من شكل خطى إلى خلوي بحيث يتم الاشتباك مباشرة من كل خلية في الخطوط الشبكية لضمان تقليل أخطاء اشتباك الارتفاع عند أو حول هذه الخطوط، وهذا ما تم في هذه الدراسة.

شكل رقم (٢)

منطقة الدراسة (أ) ، أحد روافد وادي جو بمنطقة حائل بالمملكة العربية السعودية من خريطة طبوغرافية بمقاييس ١ : ٥٠٠٠٠٠ . (ب) الجزء الذي تم التطبيق عليه.



المصدر: من عمل الباحث.

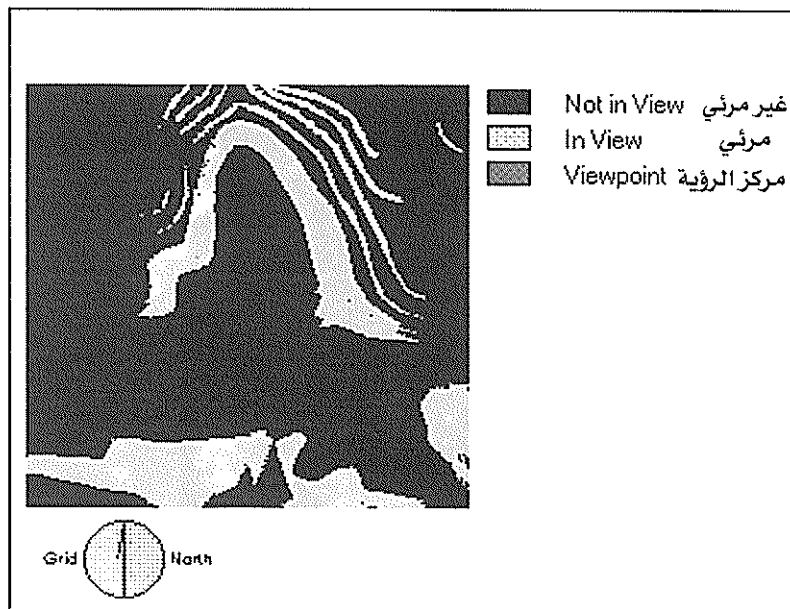
وابعًا: النتائج

تم تطبيق نموذج محاكاة الأخطاء بالترتيب، فقد تم أولاً إنتاج خريطة للرؤبة دون اعتبار لوجود الأخطاء. فالرؤبة من مركز الرؤبة المشار إليه في الشكل (٣) تبدو للقارئ أن النتيجة نهائية، بحيث إن المناطق المرئية الناتجة من التحليل هي فعلاً المناطق التي يمكن أن ترى من مركز الرؤبة في جميع الاتجاهات. هذا التحليل التقليدي (Boolean Viewshed) بالطبع لا يأخذ أخطاء البيانات وتراكمها في الحسبان، فتبدو النتيجة قطعية، مقارنةً بالنتيجة النسبية أو الاحتمالية. يتضح من جدول (١) أن ما يقارب خمس المنطقة مرئي، أما الباقي فهو غير مرئي.

أما نتيجة محاكاة الأخطاء فتظهر في شكل (٤)، حيث تبدو الرؤبة في شكل مشتت على عكس نمط الرؤبة الثنائية في شكل (٣). ويبدو معظم هذا التشتت في الجزء الأعلى الأيمن، ثم يأخذ هذا النمط بالتكلل حول مركز الرؤبة في الجزء الأوسط تقريباً. يبين الشكل من خلال عملية ترميز درجة الاحتمالية، كيف أن الرؤبة تزيد باتجاه المركز، حيث تصل درجة الاحتمالية إلى (١٠٠) حول نقطة المركز في ثمان خلايا فقط، وهي الخلايا الملاصقة مباشرة ب نقطة المركز. أما النتيجة الرقمية في جدول (٢) فتبين بوضوح دلالة هذه النتيجة البصرية. وبالرغم من أن حجم المناطق المرئية يماثل حجم المنطقة المرئية في تحليل الرؤبة الثنائية (تشمل خمس المنطقة تقريباً) إلا أن معظم الخلايا (المناطق) المرئية بعد محاكاة الأخطاء تحمل احتمالية ضعيفة (٥٠٠). هذه الدرجة من الاحتمالية تشير بالطبع إلى عدم الوثوق

شكل رقم (٣)

نتيجة تحليل الرؤية بالطريقة الثنائية (Boolean Viewshed) حيث تكون الخلية إما مرئية (١) أو غير مرئية (٠). التحليل هنا لا يأخذ أي خطأ في الاعتبار، حيث تعني النتيجة أن المناطق المرئية (باللون الفاتح) تعد فعلاً مناطق مرئية بنسبة ١٠٠٪ من مركز الرؤية.



المصدر: من عمل الباحث.

جدول رقم (١)

النتيجة الرقمية لتحليل الرؤية بدون محاكاة للأخطاء.

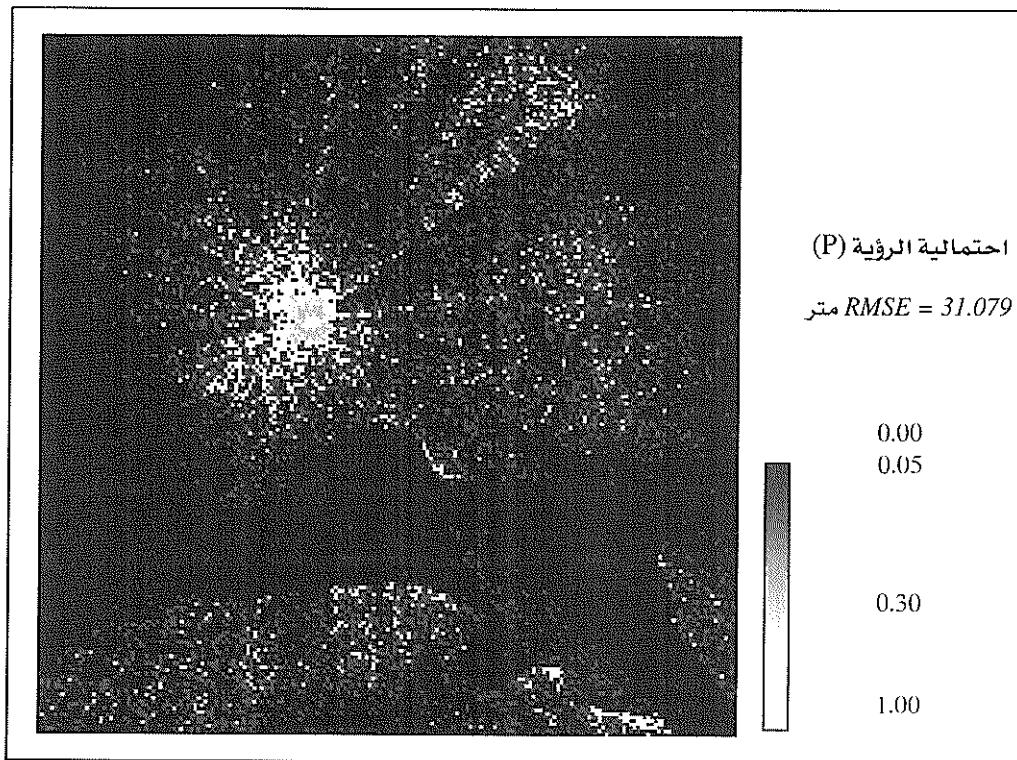
النسبة من مجموع الخلية	عدد الخلية	احتمالية الرؤية
٢٠,٧٥	٨٣٨٣	١,٠
٧٩,٢٥	٣٢٠١٧	٠,٠
١٠٠	٤٠٤٠٠	المجموع

المصدر: من عمل الباحث.



شكل رقم (٤)

محاكاة الخطأ في تحليل الرؤية أنتج خريطة احتمالية للرؤبة (Probable Viewshed). تزداد احتمالية الرؤبة كلما قربت المسافة من مركز الرؤبة.



المصدر: من عمل الباحث.

جدول رقم (٢)

النتيجة الرقمية لتحليل الرؤية الاحتمالية بعد محاكاة الأخطاء.

الاحتمالية الرؤية (%)	عدد الحاليا	النسبة إلى مجموع الحاليا (٤٠٤٠٠)
٠	٣٣١٤١	٨٢,٠٣
٠,٠٥	٥٦٧٤	١٤,٠٤
٠,١٠	١١٠٥	٢,٧٤
٠,١٥	٢٦٦	٠,٦٦
٠,٢٠	٨٠	٠,٢٠
٠,٢٥	٣٦	٠,٠٩
٠,٣٠	٢٦	٠,٠٦
٠,٣٥	١٩	٠,٠٥
٠,٤٠	١٣	٠,٠٣
٠,٤٥	١١	٠,٠٢٧
٠,٥٠	٦	٠,٠١٤٨
٠,٥٥	٤	٠,٠٠٩٩
٠,٦٠	١	٠,٠٠٢٤
٠,٦٥	٢	٠,٠٠٤٩
٠,٧٠	١	٠,٠٠٢٤
٠,٧٥	٤	٠,٠٠٩٩
٠,٨٠	١	٠,٠٠٢٤
٠,٨٥	١	٠,٠٠٢٤
٠,٩٠	٠	٠,٠٠
٠,٩٥	١	٠,٠٠٢٤
١,٠	٨	٠,٠٧٩٨

المصدر: من عمل الباحث.

في الرؤية في هذه المناطق (الخلايا). يلي هذه المناطق، مناطق للرؤية ولكن بدرجة احتمالية تعد ضعيفة أيضاً (١٠، ١٠)، تمثل نسبتها من مجموع الخلايا ٢,٧٤ %. ويتبادر إلى الذهن الآن سؤال منطقي وهو: كم عدد الخلايا التي فيها الرؤية بدرجة ١٠، إلها ثمان خلايا فقط من ٤٠٤٠٠ خلية بنسبة ١٩٨ %. وبحساب آخر، نجد أنه توجد ٢٩ خلية فقط من ٤٠٤٠٠ خلية تساوي وتزيد احتمالية الرؤية فيها عن ٥٠ ..

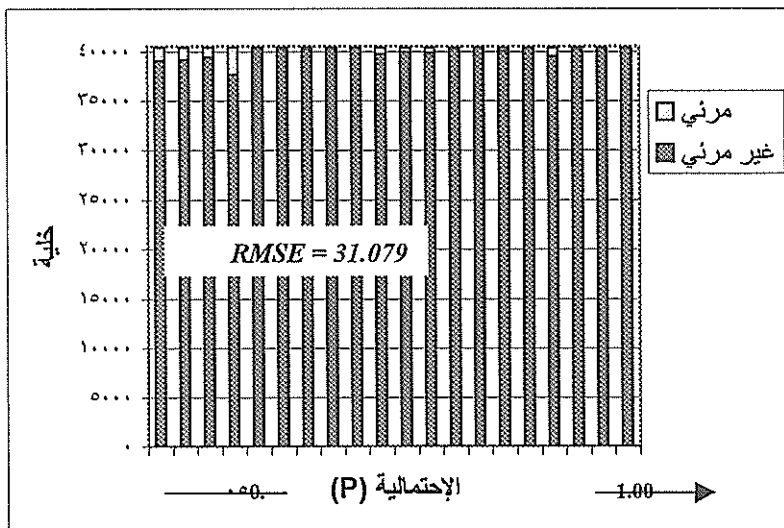
يؤكد المصلع التكراري في شكل (٥) هذه النتيجة، حيث تبدو معظم الخلايا غير مرئية في كل رؤية ثنائية. هذا يفسر الحصول على درجة احتمالية قليلة للخلايا المرئية في خريطة الرؤية الاحتمالية شكل (٤).

الرؤبة الاحتمالية المتداخلة مع الرؤبة الثنائية:

يبدو منطقياً أن تسأعل عن المقارنة بين نتائج الرؤبة الاحتمالية والرؤبة الثنائية، فمثلاً ما مقدار التداخل بين أعداد الخلايا المرئية عموماً بين النوعين من التحليل؟ شكل (٦) يبي ذلك التداخل، في حين أن جدول (٣) يبي عدد الخلايا التي فقط تحمل درجة من الاحتمالية من ٥٠، ٥٠ إلى ١٠، بافتراض أن المطلوب معرفة درجة الوثوق في نتائج تحليل الرؤبة الثنائية مقارنة بتحليل الرؤبة الاحتمالية بهذه الدرجة من الاحتمالية. ويظهر الجدول كيف أن ٢٩٧٠ خلية من متداخلة يمكن الوثوق في رؤيتها بدرجة احتمالية ٥٠، وما فوق، منها ٩ بدرجة ٩٥، وما فوق منها أيضاً ٨ خلايا فقط ذات احتمالية رؤية ١٠، أي رؤية تامة. إذاً وبافتراض أن الرؤبة الاحتمالية هي النتيجة التي يوثق بها لأنها تأخذ الأخطاء في

شكل رقم (٥)

العلاقة بين الاحتمالية والرؤية الثنائية إثناء محاكاة الخطأ. في كل رؤية ثنائية إثناء عملية المحاكاة تبدو معظم الخلايا غير مرئية (مقارنة بالرؤية الثنائية بدون محاكاة للأخطاء في شكل ٣)، كما أنه كلما زادت الاحتمالية قلت أعداد الخلايا المرئية.



المصدر: من عمل الباحث.

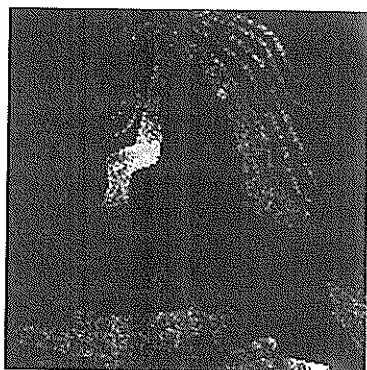
الاعتبار، فإن هناك ٢٩ خلية فقط من ٨٣٨٣ خلية - ظهرت في شكل (٣) على أنها مرئية تماماً - يمكن الوثوق في رؤيتها. لذلك، يبدو من هذه المقارنة مقدار الخطأ الواضح في الرؤية الثنائية.

خاتمة: مناقشة وفاتحة

بيّنت النتائج بوضوح تأثير وجود الأخطاء في قواعد البيانات الخاصة بنموذج الارتفاع الآلي المبني على خريطة طبوغرافية بقياس ١ : ٥٠٠٠٠، حيث أخذ جزء محدد من خريطة المملكة العربية السعودية كمثال للتطبيق. ففي حين أن تحليل

شكل رقم (٦)

الخلايا المداخلة بين الرؤية الاحتمالية (شكل ٤) والرؤية الثانية (شكل ٣).



المصدر: من عمل الباحث.

جدول رقم (٣)

أعداد خلايا الرؤية الاحتمالية المداخلة (٢٩٧٠ خلية) مع خلايا الرؤية الثانية (٨٣٨٣ خلية). الجدول يظهر أعداد الخلايا ذات رؤية احتمالية بدرجة ٥٠٪ وما فوق.

النسبة (من ٨٣٨٣ خلية)	النسبة (من ٢٩٧٠ خلية)	الاحتمالية	عدد الخلايا المداخلة
٠,٣٥	٠,٩٨	+ ٠,٥٠	٢٩
٠,١١	٠,٣٠	+ ٠,٩٥	٩
٠,١٠	٠,٢٧	١٠٠	٨

المصدر: من عمل الباحث.

الرؤبة الثنائي التقليدي يبين بشكل قطعي المناطق المختجبة والمناطق المكسوفة (المرئيسية)، إلا أنأخذ وجود الأخطاء في الاعتبار أثناء التحليل أنتج رؤبة ذات

درجات مختلفة من الاحتمالية، بل وظهرت المناطق في نمط مختلف. كما أن معظم المناطق (الخلايا) كانت ذات احتمالية للرؤية قليلة جداً. بما أن نموذج الخطأ المستخدم يعد نموذجاً بسيطاً (Simple Error Model)، حيث لا يأخذ بعض القضايا مثل الارتباط الذاتي المكاني (Spatial Autocorrelation) في الحسبان، فإن النتائج قد ظهرت بهذا الشكل كأن تبدو غير مألوفة للقارئ؛ معنى لا تمثل ما يمكن أن يراه الشخص في الواقع، وهذا بالطبع لا يؤثر على مصداقية النتائج في ضوء نموذج الخطأ المستخدم.

إن الأخطاء المدروسة في هذا البحث لم تشمل تلك الأخطاء أو الغموض الناتج من عمليات التعميم الخرائطي والترقيم والتحويل وغيرها، وعلى ضوء ما تم من نتائج يتوقع أن تأثير هذه الأخطاء الأخيرة على التحليل قد يتضاعف وبشكل لا يمكن التنبؤ بحدته.

تؤكد الدراسة أن الأخطاء الكامنة والمترادفة في قواعد البيانات التي مصدرها خرائط طبوغرافية بمقاييس ١ : ٥٠٠٠٠٠، يجعل من استخدام هذه الخرائط في التحليل بنظام المعلومات الجغرافية أمراً غير مقبول لأي دراسة تأخذ قضيتي الصحة والدقة بجدية وذلك نظراً لحدة تأثير هذه الأخطاء مع الرغم أن الأخطاء المهمة مثل أخطاء التعميم وغيرها لم تؤخذ في الاعتبار. بالرغم أن هذا قد يتوقع، إلا أن الدراسة تبين لأول مرة مدى مقدار عدم التأكد (Uncertainty) في بعض العمليات التحليلية التي قد تحرى على قاعدة بيانات خريطة طبوغرافية بهذا المقاييس قد تم أخذ بعض أخطائها في الاعتبار.

يستوقي الباحث أن تثير نتائج هذه الدراسة أولئك الذين لم يأخذوا تأثير الأخطاء بجدية على خرائط طلما كانت هي الوحيدة إن لم تكن المحببة في البحث



والدراسة والمشاريع. ولتأكيد مصداقية هذه النتائج، نتخيل فقط ما ذا يعني انحراف عن المكان الحقيقي بقدار ٣١,٠٧٩ متراً، بدون حتى مذكرة لتراكم هذا الخطأ؟ فإذا سلمنا بأن هذا الخطأ يتراكم ويتولى أثناء التحليل فكيف ستصبح النتيجة عند محاكاة هذا الخطأ؟ هذا هو ما أرادت هذه الدراسة وبينته النتائج. بقي أن نعتقد أنه من المناسب أن تفحص النتائج ميدانياً للخروج بحكم نهائي معتم على جميع قواعد بيانات خرائط ١ : ٥٠٠٠ الطبوغرافية. إلا أن الدراسة تكتفي بالوقوف عند إعلان هذه النتائج ولعل دراسات أخرى تتبع هذه الدراسة من قبل باحثين آخرين.

المراجع

- Bachmann, A., and Allgower, B., (2002), "Uncertainty Propagation in Wild Land Fire Behavior Modeling", **International Journal of Geographical Information Science**, Vol. 16, No. 2, p. 115-127.
- Blakemore, M., (1984), "Generalization and Error in Spatial Data Bases", **Cartographica**, Vol. 21, pp. 131-139.
- Burrough, P. A., (1986), **Principles of Geographical Information Systems for Land Resources Assessment**, Clarendon Press, Oxford
- Chrisman, N., (1989), "Error in Categorical Maps: Testing Versus Simulation", in ACSM-ASPRS, **Proceedings, AUTO-CARTO 9**, Baltimore, MD, pp. 521-529.
- Drummond, J., (1987), "A Framework for Handling Error in Geographic Data Manipulation", **ITC Journal**, No.1, p. 73-82.
- Eastman, R., (1997), **IDRISI for Windows**, IDRISI Production, Clark University, Main, USA.
- Fisher, P., (1990), "Simulation of Errors in Digital Elevation Models", **Proceedings of Applied Geography Conferences**, Vol.13, pp. 37-43.
- Fisher, P., (1991a), "Modeling Soil Map-Unit Inclusions by Monte Carlo Simulation", **International Journal of Geographic Information Systems**, Vol. 5, 193-208.
- Fisher, P., (1991b), "Algorithm and Implementation Uncertainty in Viewshed Analysis", **International Journal of Geographic Information Systems**, Vol. 7, 331-347.

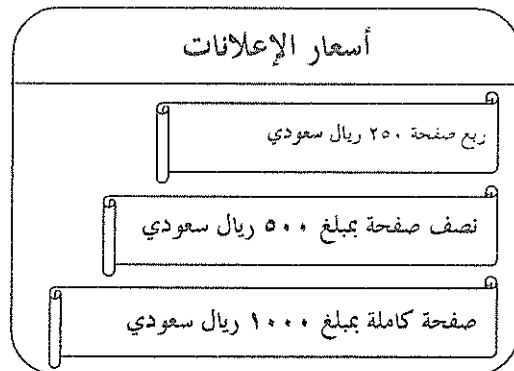
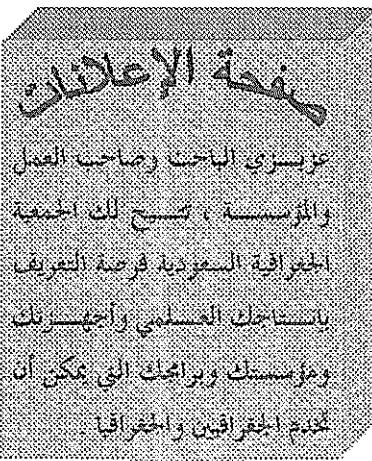
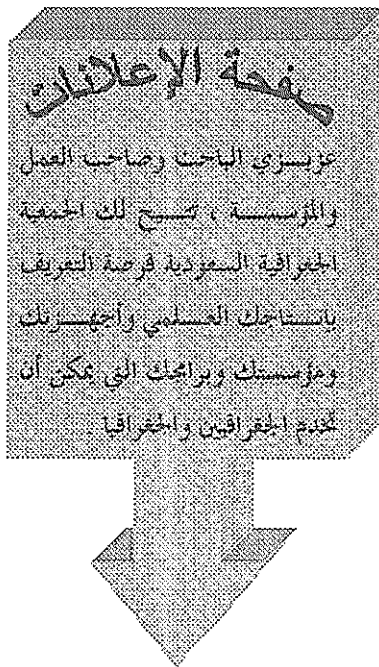


- Fisher, P.,(1992), "First Experiments in Viewshed Uncertainty: Ssimulating Fuzzy Viewsheds", **Photogrammetric Engineering and Remote sensing**, Vol. 58, No. 3, pp. 345-352.
- Fisher, P., (1995), "An Exploration of Probable Viewshed in Landscape Planning", **Environment and Planning. B: Planning & Design**, 22, 527-546.
- Fisher, P., (1996), "Extending the Aapplicability of Viewshed in Landscape Planning", **Photogrammetric Engineering and Remote sensing**, 62, 1297-1302.
- Fisher, P., (1997), (Eds.), "Book Review of Elements of Spatial Data Quality", **International Journal of GIS**, Geographic Information Science, Vol. 11, pp. 407-408.
- Goodchild, M., and Gopal, S., (Eds.), (1989), **Accuracy of Spatial Databases**, London: Taylor & Francis.
- Heuvelink, G., and Burrough, P., (1993), "Error Propagation in Cartographic Modeling using Boolean Logic and Continuous Classification", **International Journal of Geographic Information Systems**, Vol. 7, 231-246.
- Heuvelink, G., (1998), **Error Propagation in Environmental Modelling with GIS**, London: Taylor & Francis, p 127.
- Hunter, G., and Goodchild, M., (1996), "A New Model for Handling Vector Data Uncertainty in Geographical Information Systems", **URISA Journal**, Vol. 8, 51-57.
- Hunter, G., and Goodchild, M., (1997), "Modelling the Uncertainty of Slope and Aspects Estimates from Spatial Databases", **Geographical Analysis**, Vol. 29, 35-49.

- Hope, A.C.A., (1968), "A simplified Monte Carlo Significance Test Procedure", **Journal of the Royal Statistical Society**, Vol. 30, pp. 583-598.
- Maling, D.H., (1989), **Measurements from Maps: Principles and Methods of Cartometry**, Pergamon Press, Oxford, England, p.577.
- Nackaerts, K., Govers, G., and Orshoven, J.V., (1999), "Accuracy Assessment of Probabilistic Visibilities", **International Journal of Geographical Information Science**, Vol. 13, No. 7, pp. 709-721.
- Openshaw, S., Charlton, M., and Carver, S., (1991), Error propagation: a Monte Carlo simulation. In Messer, I., and Blackmore, M., (Eds), **Handling Geographical Information**, pp. 78-101, UK: Longman, Harlow.
- Thapa, K., and Bossler, J., (1992), "Accuracy of Spatial Data Used in Geographic Information Systems", **Photogrammetric Engineering and Remote Sensing**, Vol. 58, No. 6, pp. 835-841.
- Uotila, U., (1986), **Lecture notes on Adjustment Computations**, The Ohio State University.
- Vergin, H., (1994), "Integration of Simulation Modeling and Error Propagation for the Buffer Operation in GIS", **Photogrammetric Engineering and Remote Sensing**, Vol. 60, No.4, pp. 427-435.
- Walsh, S., D.R. Lightfoot, D.R. Butler, (1987), "Recognition and Assessment of Error in Geographic Information Systems", **Photogrammetric Engineering and Remote Sensing**, Vol. 53, No.10, pp.1423-1430.
- Wood, J., and Fisher., (1993), "Assessing Interpretation Accuracy in Elevation Models", **IEEE Computers, Graphics and Applications**, Vol.13, 48-56.



محاكاة أنور تراكم أخطاء المراحل الطبوغرافية بمقاييس ١:٥٠٠٠٠٠ على التحليل في نظم المعلومات الجغرافية



آخر إصدارات سلسلة بحوث جغرافية

- د. محمد بن فالد حاج حسن .٢٦
 تقييم طريقة الري بالرشن الخوري : دراسة حالة في المحاجبا الزراعية منطقة وادي الدارس .٢٧
 خصائص تربة الكبان الرملية ومدى ملائمتها للزراعة الحافظة في واحة الأحساء بالملكة العربية السعودية .٢٨
 جغرافية التجارة الخارجية للسلالة الغربية السعودية .٢٩
 أهمية الأطلس المدرسي في تدريس مادة المخراطي في مراحل التعليم العام .٣٠
 العلاقات المكانية والزمنية للأسوان الأسيوية وخصائصها الجغرافية في واحة الأحساء بالملكة العربية السعودية .٣١
- د. غازي عبد الواحد مكي المكي .٣٢
 المسح المباني الإلكتروني باستخدام تقنية تحديد المواقع ونظام الرابط الأرضي الخرطي -G.P.S-GEOLINK .٣٣
 توزيع الوضع الإيكولوجي الزراعي في منطقة وادي الماء بالمملكة العربية السعودية .٣٤
 التحليل الإحصائي للمعدل المتغيرات لخصائص أحجام حبيبات الكبان الرملية بمنفذ الرينارات: دراسة حالة في عاصفة الغالق .٣٥
 د. محمد بن عبدالكريم حبيب .٣٦
 آثر استخدام المياه الجوفية على التربة وإنماجها بعض المخاصيل الزراعية منطقة تبرك .٣٧
 التوزيع المكانى للسكان والتبنية في المملكة العربية السعودية في ١٤١٣-١٤٩٤ .٣٨
 الأرادية الداخلية إلى منطقة الخرم بالمدينة المنورة .٣٩
 مواقع المدارس وسائل رفع مستوى سلامه التعليمية المدرسية في مدينة الرياض .٤٠
 تردد الرياض السالمة وتنابعها في المملكة العربية السعودية .٤١
 التربى المائية في المملكة العربية السعودية : أبعادها الجغرافية والاقتصادية والاجتماعية .٤٢
 خصائص السياحة منطقة عسير وأهميتها للتخطيط والاستثمار السياحي .٤٣
 تطور إنتاج عرمانط المملكة العربية السعودية نصف قرن في دعم التنمية والتخطيط .٤٤
 ثورات المسونة المحلية وعلفاتها بالأمطار والبريران السطحي بالخرس الخوريغرافي لروادي الكير الرمال(الثلوج) .٤٥
 الفلسطيني-الجزائر .٤٦
 ثمنية التحليل المورفومترى لشعب نساج .٤٧
 آثر محمد فالد بن شوكت شركت حاج حسن .٤٨
 مورفولوجية كوسينات هضبة نجد: دراسة تطبيقية على حال الوطاء .٤٩
 الاتصال الشناخي السطحي بين المملكة العربية السعودية ونصف الكرة الشمالي .٤٧
 دور خطوط التنمية في معالجة قضية التوارن الإنليبي في المملكة العربية السعودية: دراسة تطبيقية لنهرية التنمية الإقليمية ما بين عامي ١٤١٥-١٤٣٩ .٥٠
 تطور التربوي الحرجي لمرض السل وأشارته في العالم .٥١
 العلاقة بين كربات الأمطار وارتفاع الماء الجوفي في حوض وادي عجرة بالمملكة العربية السعودية .٥٢
 الصناعات الصغيرة في المملكة العربية السعودية .٥٣
 أوجه التنمية والاختلاف وأدائي التكامل الشئري والمتغيري بين المساحات التصويرية والاستشعار عن بعد .٥٤
 الخصائص المورفومترية لخوضني، روادي عرق كان وروادي بنتي بالملكة العربية السعودية: دراسة تطبيقية مقارنة .٥٥
 الإنسان الإقليمي لمطرور المصايب العدائية في المملكة العربية السعودية (١٣٧٣-١٤١٧): تحليل جغرافي .٥٦
 التربوي المخارطي للخدمات الصحية منطقة مكة المكرمة .٥٧
 الترکیب المحتوى الأليل وأهميه على التربوي الزراعي منطقة مكة المكرمة .٥٨

أثمان المجموع :

سعر النسخة الواحدة للأختصار .١٠ روپالات سعودية
 سعر النسخة الواحدة للمرفق مضاف .١٥ روپالات سعودية
 تضمين إلى هذه الأختصار لغيره المزيد

Institutions . 15 S.R.

Handing & Mailing Charges are added on the above listing



مماكاة أثر تراكم أخطاء الخرائط الطبوغرافية بقياس ١:٥٠,٠٠٠ على التحليل في نظم المعلومات الجغرافية

عزيزي عضو الجمعية الجغرافية السعودية

هل غيرت عنوانك؟ فضلاً أملأ الاستماراة المرفقة وأرسلها على عنوان الجمعية

الاسم:

العنوان:

ص ب: المدينة والرمز البريدي:

البلد:

الاتصالات الهاتفية:

عمل: منزل:

جوال: بيمبر:

بريد إلكتروني:

ترسل على العنوان التالي:

الجمعية الجغرافية السعودية

ص ب ٢٤٥٦ الرياض ١١٤٥١

المملكة العربية السعودية

هاتف: ٩٦٦ ١ ٤٦٧٨٧٩٨ + فاكس: ٩٦٦ ١ ٤٦٧٧٧٣٢

بريد إلكتروني: sgs@ksu.edu.sa

كما يمكنكم زيارة موقع الجمعية على الانترنت على العنوان التالي:

www.ksu.edu.sa/societies/sgs/

ISSN 1018-1423

●Administrative Board of the Saudi Geographical Society ●

Abdulaziz A. Al-Shaikh	Prof.	Chairman.
Mohammad S. Makki	Prof.	Vice-Chairman.
Badr A. Al-Faqir	Ass. Prof.	Secretary General.
Abdullah H. Al-Solai	Ass. Prof.	Treasurer.
Abdullah S. Al-Roqaybah	Ass. Prof.	Member.
Ibrahim S. Al-Dosari	Ass. Prof.	Member.
Ibrahim M.A. Al-Faqqy	Ass. Prof.	Member.
Mohammed M. Al-Qahtani	Ass. Prof.	Member.
Khadran K. Al-Thobeti	Ass. Prof.	Member.

RESEARCH PAPER IN GEOGRAPHY

OCCASIONAL REFEREED PAPERS PUBLISHED BY SAUDI GEOGRAPHICAL SOCIETY

57

Simulation of the Effects of Propagating Errors of the 1:50000 Topographic Maps During Analysis in GIS

Dr. Ali M. Al-Ghamdi

King Saud University - Riyadh
Kingdom of Saudi Arabia
1423A.H. - 2003 A.D.